

第三章

磁路分析

- 3.1 磁路近似解析
- 3.2 磁路之非線性解析
- 3.3 電樞反應與去磁效應

永磁馬達分類

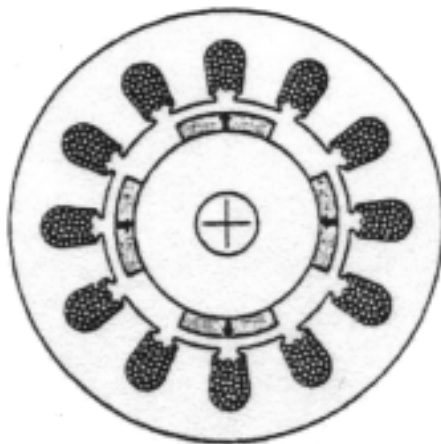
- 依產生的反電勢波形可區分為兩大類：**方波式**及**弦波式**
- **方波式**具有以下特性：
 - (1) 氣隙磁通為方波分佈；
 - (2) 電流為方形波；
 - (3) 定子為集中繞組。
- **弦波式**具有以下特性：
 - (1) 氣隙磁通為弦波或半弦波分佈；
 - (2) 電流為弦波或半弦波；
 - (3) 定子導體為半弦波式分佈,即短節距及分佈或集中繞組

三種不同的轉子結構

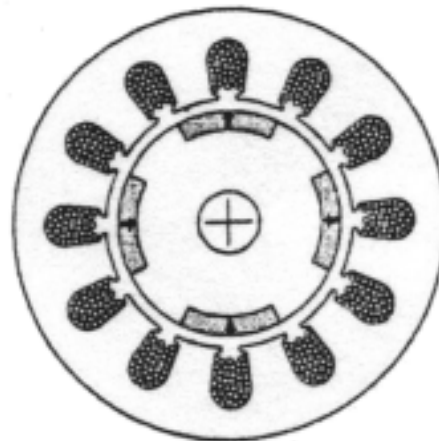
- 表面型 (Surface-magnet rotor)
- 嵌入型 (Inset-magnet rotor)
- 內藏型 (Interior-magnet rotor)

轉子結構圖

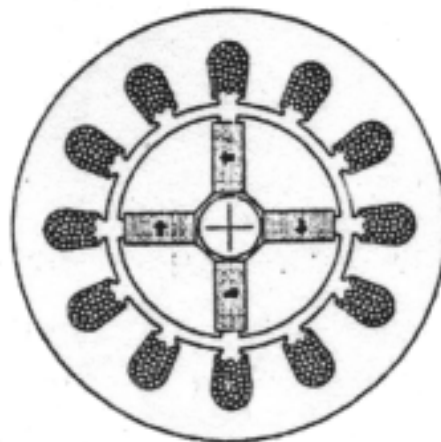
本章將先介紹表面型的
磁路模型



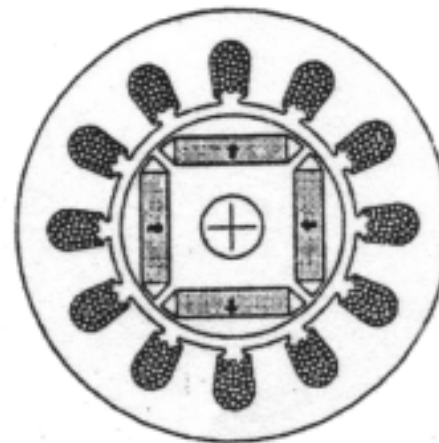
Surface magnet



Inset magnet

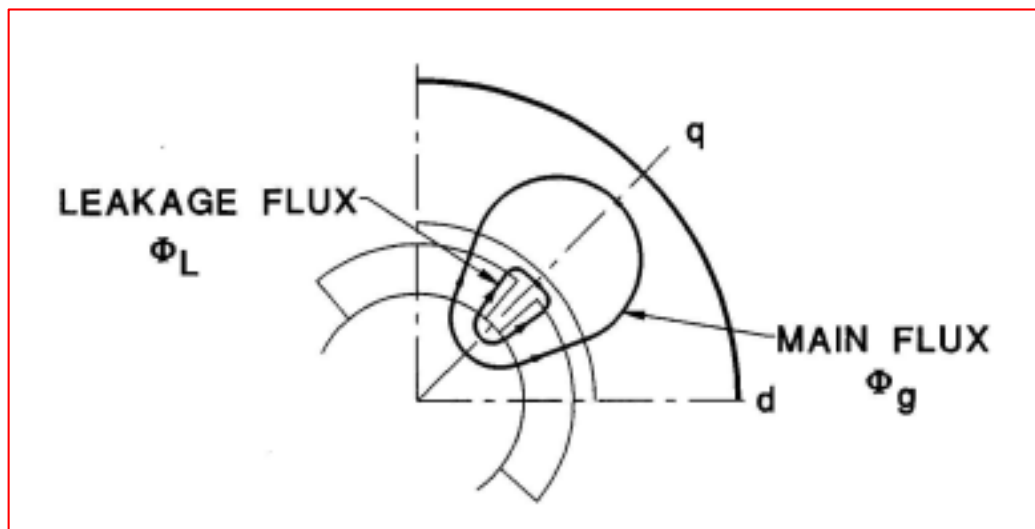


Interior magnet:
Circumferentially magnetized



Interior magnet:
Radially magnetized

磁路近似解析



- 上圖為一四極馬達之簡要主磁通路徑。主磁通或稱氣隙磁通穿過氣隙，並交鏈到相繞組之線圈。磁極產生之磁通是流出磁石之部分，漏磁通是磁極之磁通未交鏈到相繞組線圈之部分。

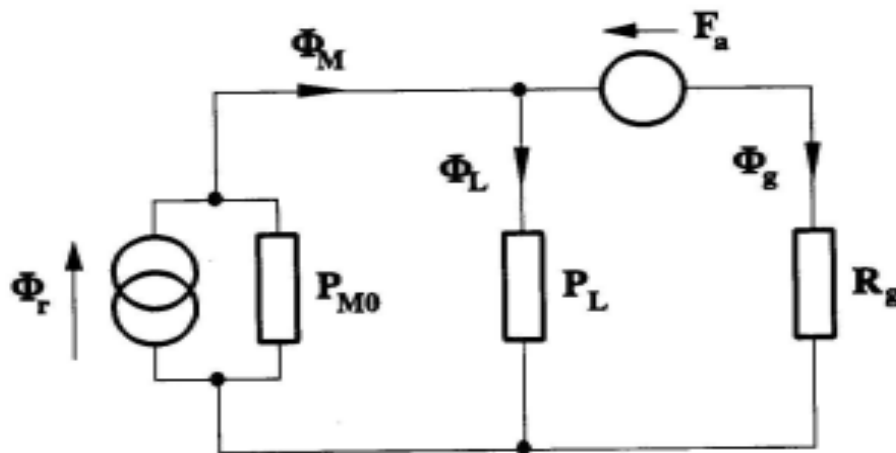
- 以上這些磁通均以每極為基礎，定義磁係數(Leakage coefficient)， f_{LKG} 為：

$$f_{LKG} = \frac{\phi_g}{\phi_M} = \frac{\phi_g}{\phi_g + \phi_L}$$

(3.)

- $f_{LKG} < 1$ ，其值與馬達之構造有關，本所用之值為0.9。

一極之等效電路

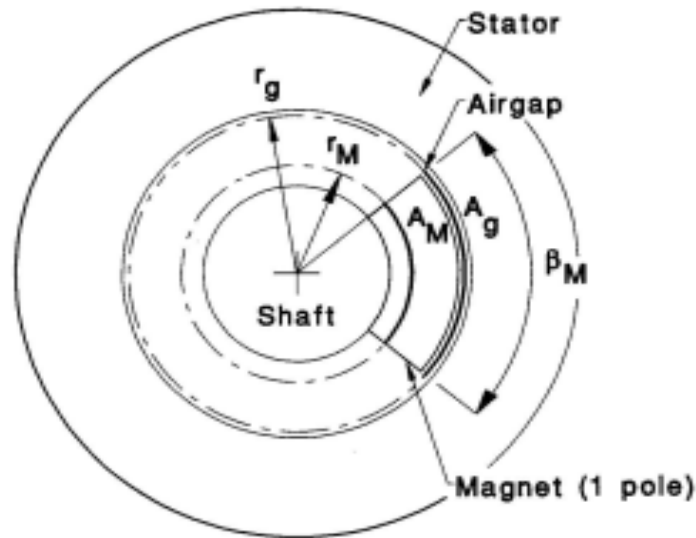


- 上圖是一極之等效電路，使用諾頓等效回路來代表磁石。
- 漏磁導 P_L 與磁石內部磁導 P_{M0} 並聯，由相電流產生之電樞反抗磁動勢， F_a 與氣隙磁阻 R_{M0} 串聯，但在起始時，設 $F_a = 0$ ，即開路狀態。

- 圖中，磁導 P 與磁阻 R 混合使用，反應了漏磁轉移了部分磁通使它無法交鏈相繞組，而磁（特別是氣隙）對磁通呈現的阻力。
- 為了簡化計算而忽略了定轉子上鐵心之磁阻
磁石之磁導為

$$P_{MO} = \mu_{rec} \mu_0 \frac{A_M}{L_M} = \mu_{rec} \mu_0 \frac{\beta_M}{p} \frac{r_M L_{stk}}{L_M} \quad \text{Wb/At} \quad (3.2)$$

- 其中 β_M 為磁極之極弧寬度，單位為電機徑度
 p 為對極數， A_M 為磁石之極面積， L_{stk} 為積厚長度， L_M 為磁石在極化方向之長度。



極弧標么值(per-unit pole-arc)或極弧/極距比(pole-arc/pole-pitch ratio)為 $\frac{M}{\beta_M}$ 。如上例中即為90%或0.9。參數 r_M 為磁石之有效半徑，如上圖， r_M 是磁石內徑量起1/3處之半徑。

- 磁石之磁導 P_{MO} 為一理想之假想。它是由之比推導而來，並假設去磁曲線為直線且特均勻。氣隙磁阻 R_g 為

$$R_g = \frac{g'}{\mu_0 A_g} = \frac{1}{\mu_0 L_{stk}} \times \frac{p}{\beta_M} \times \frac{g'}{r_g} \quad (3.)$$

- 其中 A_g 為磁極部分之氣隙面積，取氣隙中間 r_g 為半徑， g' 並非實際氣隙長度 g ，必須使用卡特係數來考慮因槽所造成之影響。對表面型馬達而言，因磁石已有效加大氣隙大小，故槽效應之影響並不重要，可以將 g' 視為 g 。

- 從圖3.3顯示總剩磁通中只有

$P_g / (P_{MO} + P_L + P_g)$ 部分跨越氣隙，其中
 $P_g = 1/R_g$ ，故

$$\begin{aligned}\phi_g &= \frac{P_g}{P_{MO} + P_L + P_g} \phi_r = \frac{\frac{P_g}{P_g + P_L}}{P_{MO} + P_L + P_g} \phi_r \\ &= \frac{f_{LKG}}{1 + \frac{P_{MO}}{P_g + P_L}} \phi_r = \frac{f_{LKG}}{1 + f_{LKG} P_{MO} R_g} \phi_r\end{aligned}$$

(3.4)

- 因 $r = B_r A_M$ 及 $g = B_g A_g$ ，再利用式(3.2) (3.3)，代入(3.4)式可求得氣隙磁通如下，

$$\begin{aligned}
 B_g &= \frac{\phi_g}{A_g} \frac{f_{LKG}}{1 + f_{LKG} \times \mu_{rec} \mu_0 \frac{A_M}{L_M} \times \frac{g'}{\mu_0 A_g}} \cdot \frac{A_M}{A_g} B_r & (3.4) \\
 &= \frac{f_{LKG} \frac{A_M}{A_g}}{1 + \mu_{rec} f_{LKG} \cdot \frac{A_M}{A_g} \cdot \frac{g'}{L_M}} B_r \approx f_{LKG} \frac{A_M}{A_g} B_r
 \end{aligned}$$

- 因 $f_{LKG} < 1$ ，故氣隙磁通比其在無漏磁下還小。

- 磁石的磁通密度 B_M ，可由

$f_M = (P_L + P_g) / P_g$ 之關係求得如下：

$$B_M = B_g \frac{1}{f_{LKG}} \frac{A_g}{A_M} = \frac{\phi_g}{f_{LKG} A_M} \quad (3.6)$$

- 因 $f_{LKG} < 1$ ，對已知氣隙磁通而言，磁石之磁通密度比其在無漏磁下還大。這是正確的，因磁石磁通在通過氣隙時有漏磁。

- 磁石的工作點可用圖1.6以圖解求得，用下面之去磁特性方程式(2.15)來決定

$$B_M = \mu_{rec} \mu_0 H_M + B_r \quad ; \quad B_M > B_k \quad (3.)$$

- 不等式 $B_M > B_k$ 表示需要檢查工作點是否在曲點之上。

PC相關的方程式

- 由以上方程式，可以計算磁導係數 PC 的大小，其簡化之公式為，

$$PC = \frac{B_M}{-\mu_0 H_M} = \frac{\mu_0 H_g}{-\mu_0 H_M} \times \frac{1}{f_{LKG}} \times \frac{A_g}{A_M}$$
$$= \frac{1}{f_{LKG}} \times \frac{L_M}{g'} \times \frac{A_g}{A_M} \quad .8)$$

- 上式中忽略鐵心之磁阻，所有磁石之磁動勢 $H_M L_M$ 均為有效氣隙之磁位降 $H_g g'$ ，即

$$H_M L_M + H_g g' = 0。$$

- 在表面型馬達情況， $A_M \approx A_g$ 故 $PC \approx L_M / g'$ ，
- 為了提高 PC ，使工作點更接近磁石之剩磁，必須使磁石之磁化方向長度 L_M 比氣隙長度大很多。

PC相關的方程式

- 另外，與PC相關的方程式如下：

$$\begin{aligned} B_M &= -PC \mu_0 H_M = -PC \mu_0 \left(\frac{B_M - B_r}{\mu_{rec} \mu_0} \right) \\ &= \frac{PC}{\mu_{rec}} (B_r - B_M) = \frac{PC}{PC + \mu_{rec}} B_r \end{aligned} \quad (3.9)$$

- 因對大部分用在永磁馬達之磁石， μ_{rec} 約等於1，故從上式可知大的PC可以保證磁石之工作點愈來愈接近 B_r 。若 $PC = 5$ ，則 $B_M = 0.83 B_r$ ($\mu_{rec} = 1$ 時)。但若 $PC = 1$ 、 $\mu_{rec} = 1$ ，則 $B_M = 0.5 B_r$ 此時磁石之BH乘積最大。

磁極體積與能量

- 由以上分析，對一磁極而言，其厚度 L_M 相對氣隙長 g' ，關係到磁通密度 B_M ，及 BH 能量積有關開路情況下，磁極每極之體積滿足方程

$$V_M = \frac{2W_g}{|B_M H_M|} \quad (3.10)$$

其中儲存在氣隙中每極之能量

$$W_g = B_g H_g / 2 \times A_g \times g$$

- 為使磁極體積更小，勢必在 $|B_M H_M|$ 大下操作，去磁曲線為直線，此點即在 $B_M = B_r/2$ 的位置。此時 $PC = 1$ ，實際設計時不能使用。但 $(BH)_r$ 可代表磁石的等級。

磁路之非線性解析

- 上節所討論的磁路分析僅在磁通密度很小才成立。
- 使用高能積之磁石，就必須將鐵心也考慮去，因鐵心的飽和特性，使得磁路分析必須非線性的計算。
- 此處作非線性分析是應用安培定律來計算，圖3.2中之磁通路徑之磁位降，包括外圈的氣隙磁通及內圈的漏磁通所造成之磁位降。驟是將磁路的所有磁位降加起來。並考慮鐵的非線性 B/H 曲線所產生之磁位降。

磁位降

- 總磁位降等於磁石之顯在開路磁動勢 (Apparent open-circuit MMF)，表示如下：

$$F_{ca} = H_{ca} L_M \quad (3.11)$$

- 其中 H_{ca} 為磁石之顯在抗磁力，如圖1.6所示。
 H_{ca} 比 H_c 大，因為在第二象限可能出現曲點。與前節一樣，所求之 B_M 不得小於曲點值 B_K ，針對此要求單獨再作審查。

各部分磁位降計算

首先是氣隙部分，氣隙磁通密度 B_g 如

(3.5)式，故

$$F_g = g' \times \frac{B_g}{\mu_0} \quad (3.12)$$

定子軛鐵磁位降

- 若定子軛鐵部分之磁通， B_{sy} 等於通道氣隙一半極面氣隙磁通，則

$$B_{sy} = B_g \times \frac{A_g}{A_{sy}} \quad (3.13)$$

- 上式 A_{sy} 為軛鐵截面積，且

$$H_{sy} = H_{sy}(B_{sy}) \quad (3.14)$$

- 上式可由鐵心 B/H 曲線求得。故

$$F_{sy} = H_{sy} \times L_{sy} \quad (3.15)$$

- 其中 L_{sy} 為磁通路徑之長度，在此處為定子半極距之鐵長度。

其他磁位降

同理可寫出定子齒部及轉子軛鐵之磁位降分別為

F_{st} 及 F_{ry} 。

由(3.1)式磁石之磁通為

$$\phi_M = \frac{\phi_g}{f_{LKG}} \quad (3.16)$$

又由式(3.6) ,

$$B_M = \frac{\phi_M}{A_M} = \frac{B_g A_g}{f_{LKG} A_M} \quad (3.17)$$

如使用(3.7)式從 B_M 求得 H_M , 則

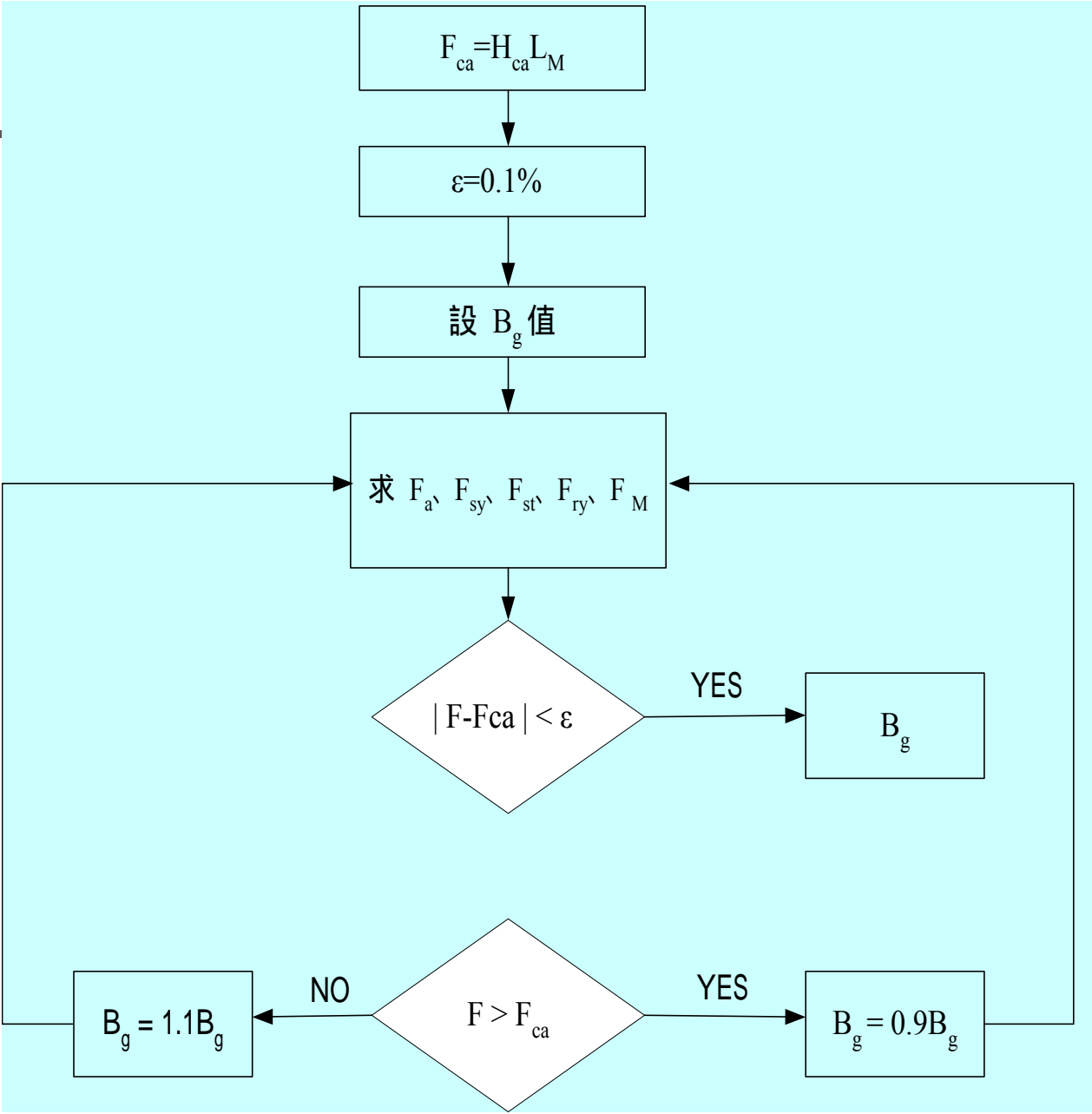
$$F_M = H_M \times L_M \quad (3.18)$$

磁位降計算

- 將所有的磁位降加起來得，

$$F = F_g + F_{sr} + F_{st} + F_{ry} + F_M \quad (3.19)$$

疊代的基本原則是：若 $F > F_{ca}$ ，則 B_g 必須減小，直到 $F - F_{ca} < 0.1\%$ 為止；或若 $F < F_{ca}$ ，則 B_g 必須增加，直到 $F_{ca} - F < 0.1\%$ 為止，疊代之過程如圖3.5。以上可用 under-relaxation factor 乘入 F ，或用牛頓法。



電樞反應與去磁效應

- 定子繞組流過電流將使永磁所建立的磁場變形，電流愈大，變形也愈嚴重。
- **直流機**此種效應稱為電樞反應。
- 對**表面永磁馬達**而言，因其磁石對定子電流在其上所加之磁動勢呈現低的導磁性，故電樞反應效果很薄弱。
- 對**內藏型馬達**而言，其磁石外相對氣隙極套有鐵心，對定子電流呈現高導磁性，故磁場變形也愈大。

磁石失磁現象

- 在永磁馬達中，電樞反應最重要的效應是磁石有可能部分或全部遭受失磁。
- 在正常運轉下，定子電流由控制器限制其大小，故只要磁石之厚度及抗磁力夠大，就沒有失磁的危險。
- 在不正常的情況下可能產生大電流，例如：當轉子鎖住，無任何截流同時尚供應全壓之情況下，電流只受到繞組電阻之限制，此時產生之鎖住電流將比額定電流大好幾倍。

磁石失磁現象

- 另一種可能的例子是，電晶體的正確點火角度 180° 才導通，且無截流，轉子也在最高轉速，此時，最大之反電勢加在外加電壓上，因兩者約同次數，只受組電阻之限制，故會產生約二倍之鎖住電流。
- 另外一種情況也會造成大的去磁電流，此即超轉 (over-running)，亦即當外加直流電壓比反電勢小，當超速驅動馬達，使其轉速超過無載轉速，此時馬達變成永磁發電機，其輸出被控制器之慣性二極體所截流，因有一大的濾波電容跨再外加電壓兩端，故除組電阻外，並無其他大的阻抗所以會產生大電流。